

(19) 日本国特許庁(JP)

(12) 特 許 公 報(B2)

(11) 特許番号

特許第5967593号  
(P5967593)

(45) 発行日 平成28年8月10日(2016.8.10)

(24) 登録日 平成28年7月15日(2016.7.15)

(51) Int.Cl. F I  
H O 1 L 31/048 (2014.01) H O 1 L 31/04 5 6 0

請求項の数 8 (全 8 頁)

(21) 出願番号	特願2014-522282 (P2014-522282)	(73) 特許権者	314012076
(86) (22) 出願日	平成24年6月27日(2012.6.27)		パナソニックIPマネジメント株式会社
(86) 国際出願番号	PCT/JP2012/066322		大阪府大阪市中央区城見2丁目1番61号
(87) 国際公開番号	W02014/002202	(74) 代理人	100109210
(87) 国際公開日	平成26年1月3日(2014.1.3)		弁理士 新居 広守
審査請求日	平成27年6月2日(2015.6.2)	(74) 代理人	100137235
			弁理士 寺谷 英作
		(74) 代理人	100131417
			弁理士 道坂 伸一
		(72) 発明者	齊木 伸太郎
			大阪府守口市京阪本通2丁目5番5号 三洋電機株式会社内
		(72) 発明者	齋田 敦
			大阪府守口市京阪本通2丁目5番5号 三洋電機株式会社内

最終頁に続く

(54) 【発明の名称】 太陽電池モジュールの製造方法及び太陽電池モジュール

(57) 【特許請求の範囲】

【請求項1】

ガラス板と、透明樹脂シートと、太陽電池と、着色樹脂シートと、第1の樹脂シートとをこの順番で積層して積層体を得、前記積層体を加熱しながら加圧することにより、前記ガラス板と、前記ガラス板と前記太陽電池との間に配されており、前記透明樹脂シートから構成された透明充填材層と、前記第1の樹脂シートと前記太陽電池との間に配されており、前記着色樹脂シートから構成された着色充填材層と、前記第1の樹脂シートとを有する太陽電池モジュールを作製し、

前記透明樹脂シート及び前記着色樹脂シートのうちの一方の樹脂シートの加圧時の温度における  $\tan \delta$  が1以上であり、他方の樹脂シートの加圧時の温度における  $\tan \delta$  が1未満である、太陽電池モジュールの製造方法。

【請求項2】

請求項1に記載の太陽電池モジュールの製造方法であって、前記着色樹脂シートとして、加圧時の温度における  $\tan \delta$  が1未満の樹脂シートを用い、

前記透明樹脂シートとして、加圧時における温度における  $\tan \delta$  が1以上である樹脂シートを用いる、太陽電池モジュールの製造方法。

【請求項3】

請求項1に記載の太陽電池モジュールの製造方法であって、前記着色樹脂シートとして、加圧時の温度における  $\tan \delta$  が1以上の樹脂シートを用

い、

前記透明樹脂シートとして、加圧時における温度における  $\tan \delta$  が 1 未満である樹脂シートを用いる、太陽電池モジュールの製造方法。

【請求項 4】

請求項 1 ~ 3 のいずれか一項に記載の太陽電池モジュールの製造方法であって、

前記第 1 の樹脂シートとして、樹脂からなるシートを用いる、太陽電池モジュールの製造方法。

【請求項 5】

ガラス板と、

前記ガラス板と対向する樹脂シートと、

前記ガラス板と前記樹脂シートとの間に配された充填材層と、

前記充填材層中に配された太陽電池と、

を備え、

前記充填材層は、

前記太陽電池と前記ガラス板との間に位置する透明充填材層と、

前記太陽電池と前記樹脂シートとの間に位置する着色充填材層と、

を有し、

前記透明充填材層と前記着色充填材層とのうちの一方の  $\tan \delta$  が 1 以上であり、他方の  $\tan \delta$  が 1 未満である、太陽電池モジュール。

【請求項 6】

請求項 5 に記載の太陽電池モジュールであって、

前記着色充填材層の  $\tan \delta$  が 1 未満であり、

前記透明充填材層の  $\tan \delta$  が 1 以上である、太陽電池モジュール。

【請求項 7】

請求項 5 に記載の太陽電池モジュールであって、

前記着色充填材層の  $\tan \delta$  が 1 以上であり、

前記透明充填材層の  $\tan \delta$  が 1 未満である、太陽電池モジュール。

【請求項 8】

請求項 5 ~ 7 のいずれか一項に記載の太陽電池モジュールであって、

前記樹脂シートが、樹脂からなる、太陽電池モジュール。

【発明の詳細な説明】

【技術分野】

【0001】

本発明は、太陽電池モジュールの製造方法及び太陽電池モジュールに関する。

【背景技術】

【0002】

従来、受光面側保護部材と裏面側保護部材との間に配された充填材層中に設けられた太陽電池を有する太陽電池モジュールが知られている。例えば特許文献 1 には、充填材層の太陽電池と受光面側保護部材との間に位置する部分を透明なエチレン・酢酸ビニル共重合体 (EVA) フィルムにより構成し、太陽電池と裏面側保護部材との間に位置する部分を着色された EVA フィルムにより構成することが記載されている。特許文献 1 には、着色 EVA フィルムを用いることにより、太陽電池モジュールの出力特性を改善できる旨が記載されている。

【先行技術文献】

【特許文献】

【0003】

【特許文献 1】特開 2003 - 258283 号公報

【発明の概要】

【発明が解決しようとする課題】

【0004】

10

20

30

40

50

特許文献 1 に記載の太陽電池モジュールは、例えば、着色 EVA フィルムと、透明 EVA フィルムとの間に太陽電池が配された積層体を加熱圧着することにより製造することができる。

【0005】

しかしながら、このような製造方法で特許文献 1 に記載の太陽電池モジュールを製造した場合、着色 EVA が太陽電池の受光面の上にも位置することとなり、太陽電池モジュールの出力特性が低下する場合がある。

【0006】

本発明の主な目的は、太陽電池モジュールの出力特性を改善することである。

【課題を解決するための手段】

10

【0007】

本発明に係る太陽電池モジュールの製造方法では、ガラス板と、透明樹脂シートと、太陽電池と、着色樹脂シートと、第 1 の樹脂シートとをこの順番で積層して積層体を得る。積層体を加熱しながら加圧することにより、ガラス板と、ガラス板と太陽電池との間に配されており、透明樹脂シートから構成された透明充填材層と、第 1 の樹脂シートと太陽電池との間に配されており、着色樹脂シートから構成された着色充填材層と、第 1 の樹脂シートとを有する太陽電池モジュールを作製する。透明樹脂シート及び着色樹脂シートのうちの一方の樹脂シートの加圧時の温度における  $\tan \delta$  が 1 以上であり、他方の樹脂シートの加圧時の温度における  $\tan \delta$  が 1 未満である。

【0008】

20

本発明に係る太陽電池は、ガラス板と、樹脂シートと、充填材層と、太陽電池とを備える。樹脂シートは、ガラス板と対向している。充填材層は、ガラス板と樹脂シートとの間に配されている。太陽電池は、充填材層中に配されている。充填材層は、透明充填材層と、着色充填材層とを有する。透明充填材層は、太陽電池とガラス板との間に位置している。着色充填材層は、太陽電池と樹脂シートとの間に位置している。透明充填材層と着色充填材層とのうちの一方の  $\tan \delta$  が 1 以上であり、他方の  $\tan \delta$  が 1 未満である。

【発明の効果】

【0009】

本発明によれば、太陽電池モジュールの出力特性を改善することができる。

30

【図面の簡単な説明】

【0010】

【図 1】図 1 は、本発明の一実施形態における積層体の略図的分解断面図である。

【図 2】図 2 は、本発明の一実施形態における太陽電池モジュールの略図的断面図である。

【発明を実施するための形態】

【0011】

以下、本発明を実施した好ましい形態の一例について説明する。但し、下記の実施形態は、単なる例示である。本発明は、下記の実施形態に何ら限定されない。

【0012】

40

また、実施形態等において参照する各図面において、実質的に同一の機能を有する部材は同一の符号で参照することとする。また、実施形態等において参照する図面は、模式的に記載されたものであり、図面に描画された物体の寸法の比率などは、現実の物体の寸法の比率などとは異なる場合がある。図面相互間においても、物体の寸法比率等が異なる場合がある。具体的な物体の寸法比率等は、以下の説明を参酌して判断されるべきである。

【0013】

(太陽電池モジュール 1 の製造方法)

ここでは、図 2 に示す太陽電池モジュール 1 の製造方法について、図 1 及び図 2 を参照しながら説明する。

【0014】

50

太陽電池モジュール 1 の製造に際しては、まず、図 1 に示される積層体 10 を作製する。具体的には、ガラス板 11 と、透明樹脂シート 12 と、太陽電池 13 と、着色樹脂シート 15 と、樹脂シート 16 とをこの順番で積層することにより、積層体 10 を作製する。

【0015】

透明樹脂シート 12 は、太陽電池 13 における光電変換に寄与し得る光のうちの少なくとも一部を透過させる。透明樹脂シート 12 は、顔料及び染料を実質的に含有していないことが好ましい。

【0016】

着色樹脂シート 15 は、太陽電池 13 における光電変換に寄与し得る光のうちの少なくとも一部を反射させる。着色樹脂シート 15 は、顔料及び染料の少なくとも一方を含んでいることが好ましい。着色樹脂シート 15 は、例えば、酸化チタン粒子を含んでいることが好ましい。もっとも、着色樹脂シート 15 の色調が白色である必要は必ずしもない。着色樹脂シート 15 の色調は、例えば、黒色等であってもよい。

【0017】

透明樹脂シート 12 と着色樹脂シート 15 との間に、例えば、ひとつの太陽電池 13 を配してもよいし、配線材 14 により電氣的に接続された複数の太陽電池 13 を配してもよい。

【0018】

太陽電池 13 の種類は特に限定されない。太陽電池 13 は、例えば、結晶半導体材料からなる基板を有するものであってもよい。結晶半導体材料からなる基板としては、結晶シリコン基板などが挙げられる。太陽電池 13 は、主として受光する受光面 13a と、裏面 13b とを有している。太陽電池 13 は、受光面 13a がガラス板 11 側を向き、裏面 13b が樹脂シート 16 側を向くように配される。

【0019】

樹脂シート 16 は、可撓性を有する。樹脂シート 16 は、例えば、ポリエチレンテレフタレート (PET)、フッ化ビニル樹脂 (PVF)、ポリフッ化ビニリデン (PVDF) 若しくはこれらの複合体等により構成することができる。樹脂シート 16 は、金属や無機酸化物からなるバリア層を有していてもよいが、実質的に樹脂のみからなる樹脂シートにより構成されていることが好ましい。

【0020】

次に、積層体 10 を加熱しながら加圧する (加熱プレス工程)。これにより、図 2 に示される太陽電池モジュール 1 を完成させることができる。加熱プレス工程において、積層体 10 の加熱温度は、例えば、100 ~ 160 程度とすることができ、130 ~ 150 程度であることが好ましい。積層体 10 の加熱温度は、例えば 125 程度とすることができる。

【0021】

太陽電池モジュール 1 は、ガラス板 11 と、樹脂シート 16 とを有する。樹脂シート 16 は、ガラス板 11 と間隔をおいて対向している。樹脂シート 16 とガラス板 11 との間には、着色樹脂シート 15 と透明樹脂シート 12 とから構成された充填材層 17 が配されている。充填材層 17 は、透明樹脂シート 12 から構成された透明充填材層 17a と、着色樹脂シート 15 から構成された着色充填材層 17b とを有する。透明充填材層 17a は、ガラス板 11 と太陽電池 13 との間に配されている。着色充填材層 17b は、樹脂シート 16 と太陽電池 13 との間に配されている。すなわち、透明充填材層 17a が太陽電池 13 の受光面 13a 側に位置し、着色充填材層 17b が太陽電池 13 の裏面 13b 側に位置している。

【0022】

ところで、透明樹脂シートと着色樹脂シートとの間に太陽電池が位置する積層体を加熱しながらプレスした場合、着色樹脂が太陽電池の受光面の上にも位置する場合がある。このような場合には、受光面の上に位置する着色樹脂により太陽電池に入射しようとする光が反射されたり吸収されたりする。このため、太陽電池への光の入射効率が低下する。そ

10

20

30

40

50

の結果、太陽電池モジュールの出力特性が低下する。

【0023】

本発明者らが鋭意研究した結果、着色樹脂が受光面上に位置する原因として、以下の2つの原因(1)(2)があることが見出された。

(1)着色樹脂シートの一部が受光面13a上に回り込む。

(2)溶融された着色樹脂シートと、溶融された透明樹脂シートとが受光面上において混じり合う。

【0024】

上記原因(1)(2)のなかでも、(2)の溶融された着色樹脂シートと溶融された透明樹脂シートの混じり合いが生じると、受光面の面積に対する着色された樹脂が位置する部分の面積の割合が大きくなりやすい。よって、改善された出力特性を実現する観点からは、溶融された着色樹脂シートと溶融された透明樹脂シートとの混じり合いを抑制することが重要である。

【0025】

ここで、本実施形態では、透明樹脂シート12及び着色樹脂シート15のうちの一方の樹脂シートの、積層体10の加圧時の温度(例えば、125)における $\tan \delta$ が1未満であり、他方の樹脂シートの、積層体10の加圧時の温度(例えば、125)における $\tan \delta$ が1以上である。このため、積層体10の加圧時において、溶融された透明樹脂シート12と、溶融された着色樹脂シート15との混じり合いが抑制されている。従って、透明樹脂シート12に含まれる透明樹脂と、着色樹脂シート15に含まれる着色樹脂とが混じり合った樹脂が生成し、受光面13aの上に位置することが抑制される。その結果、改善された出力特性を有する太陽電池モジュール1を得ることができる。従って、透明充填材層17aと着色充填材層17bとのうちの一方の125における $\tan \delta$ を1以上とし、他方の125における $\tan \delta$ を1未満とすることによって太陽電池モジュール1の出力特性を改善することができる。

【0026】

より改善された出力特性を実現する観点からは、透明樹脂シート12及び着色樹脂シート15のうちの一方の樹脂シートの、積層体10の加圧時の温度における $\tan \delta$ が0.19以上であることが好ましい。

【0027】

透明樹脂シートと着色樹脂シートとの両方の加圧時の温度における $\tan \delta$ が1以上である場合は、溶融された透明樹脂シートと溶融された着色樹脂シートとの混じり合いが生じやすい。よって、透明樹脂と着色樹脂との混合樹脂が受光面上に位置しやすい。従って、得られる太陽電池モジュールの出力特性が低くなる傾向にある。

【0028】

一方、透明樹脂シートと着色樹脂シートとの両方の加圧時の温度における $\tan \delta$ が1未満である場合は、透明充填材層と着色充填材層との間に隙間が生じやすく、太陽電池モジュールの耐湿性が低くなる場合がある。また、加圧時において、透明樹脂シート及び着色樹脂シートを介して太陽電池に加わる応力が大きくなる。従って、太陽電池にマイクロクラックなどが生じやすくなる。

【0029】

透明樹脂シート12及び着色樹脂シート15の一方の樹脂シートの、積層体10の加圧時の温度における $\tan \delta$ が1未満であり、他方の樹脂シートの、積層体10の加圧時の温度における $\tan \delta$ が1以上である場合には、透明充填材層17aと着色充填材層17bとの密着性が高く、透明充填材層17aと着色充填材層17bとの間に隙間が生じにくい。よって、改善された耐湿性を有する太陽電池モジュール1を得ることができる。また、加圧時において、透明樹脂シート12及び着色樹脂シート15を介して太陽電池13に加わる応力を小さくし得る。よって、太陽電池13にマイクロクラック等が生じることを抑制することができる。

【0030】

なお、 $\tan \delta$  とは、貯蔵弾性率 ( $G'$ ) に対する損失弾性率 ( $G''$ ) の比 ( $G''/G'$ ) である損失正接 (損失係数) のことである。 $\tan \delta$  は、材料の弾性成分に対する粘性成分の比を表している。なお、以下において、 $\tan \delta$  の測定の際に測定物が切れてしまい測定不可能であったものは、 $\tan \delta$  が 1 以上とみなす。

【0031】

例えば、着色樹脂シート 15 として、加圧時の温度における  $\tan \delta$  が 1 未満の樹脂シートを用い、透明樹脂シート 15 として、加圧時の温度における  $\tan \delta$  が 1 以上の樹脂シートを用いてもよい。着色充填材層 17b の 125 における  $\tan \delta$  を 1 未満とし、透明充填材層 17a の 125 における  $\tan \delta$  を 1 以上としてもよい。

【0032】

例えば、着色樹脂シート 15 として、加圧時の温度における  $\tan \delta$  が 1 以上の樹脂シートを用い、透明樹脂シート 12 として、加圧時の温度における  $\tan \delta$  が 1 未満の樹脂シートを用いてもよい。着色充填材層 17b の 125 における  $\tan \delta$  を 1 以上とし、透明充填材層 17a の 125 における  $\tan \delta$  を 1 未満としてもよい

【0033】

ところで、樹脂シート 16 がバリア層を有さず、実質的に樹脂のみからなる樹脂シートにより構成されている場合は、バリア層が設けられている場合よりも樹脂シート 16 の熱膨張率が高くなる。このような場合には、樹脂シート 16 の上に位置する着色樹脂シート 15 の  $\tan \delta$  を 1 未満にすることがより好ましい。着色樹脂シート 15 の  $\tan \delta$  を 1 未満とすることにより、樹脂シート 16 の伸縮に起因する着色樹脂シート 15 の変形が抑制される。よって、太陽電池 13 に応力が加わることを抑制することができる。

【0034】

以下に、125 における  $\tan \delta$  が 1 未満である樹脂として非架橋性ポリオレフィン、125 における  $\tan \delta$  が 1 以上である樹脂として架橋性ポリオレフィンを用いた場合の例を示す。

【0035】

$\tan \delta$  は、以下の要領で測定することができる。

【0036】

まず、長さ：5 mm、幅：10 mm、厚み：0.6 mm である平面視矩形形状のサンプルを用意する。そして、長さ方向における両端部を引っ張りながら測定することによりサンプルの  $\tan \delta$  を求めることができる。

【0037】

(実施例 1)

厚みが 3.2 mm であるガラス板、非架橋性ポリオレフィンからなる厚み 0.6 mm である着色樹脂シート (125 で  $\tan \delta = 0.7$ )、太陽電池、架橋性ポリオレフィンからなる厚み 0.6 mm である透明樹脂シート (125 にて  $\tan \delta$  が 1 以上)、非架橋性ポリオレフィンからなる厚み 0.3 mm である樹脂シートとをこの順番で積層し、積層体を得た。次に、積層体を温度が 150 となるように加熱しながら加圧することにより太陽電池モジュールを作製した。

【0038】

(実施例 2)

着色樹脂シートとして、架橋性ポリオレフィンからなる厚み 0.6 mm の樹脂シート (125 で  $\tan \delta$  が 1 以上) を用い、透明樹脂シートとして、非架橋性ポリオレフィンからなる厚み 0.6 mm の樹脂シート (125 で  $\tan \delta$  が 0.7) を用いたこと以外は実施例 1 と同様にして太陽電池モジュールを作製した。

【0039】

(比較例 1)

着色樹脂シートとして、架橋性ポリオレフィンからなる厚み 0.6 mm の樹脂シート (125 で  $\tan \delta$  が 1 以上) を用い、透明樹脂シートとして、架橋性ポリオレフィンからなる厚み 0.6 mm の樹脂シート (125 で  $\tan \delta$  が 1 以上) を用いたこと以外は

10

20

30

40

50

実施例 1 と同様にして太陽電池モジュールを作製した。

【 0 0 4 0 】

( 評価 )

実施例 1 ~ 2 及び比較例 1 のそれぞれにおいて作製した太陽電池モジュールをガラス板側から確認し、受光面の上に着色された樹脂が存在しているか否かを確認した。その結果、実施例 1 ~ 2 においては、受光面の上には、着色された樹脂が実質的に存在していなかった。比較例 1 においては、受光面の周縁部の全周に渡って着色された樹脂が存在していた。

【 符号の説明 】

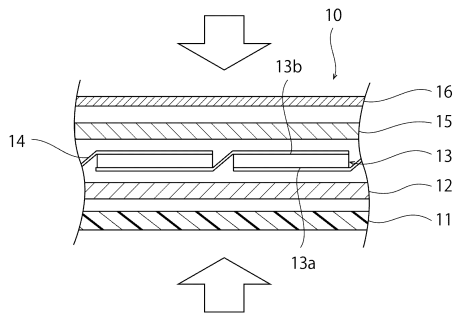
【 0 0 4 1 】

- 1 ... 太陽電池モジュール
- 1 0 ... 積層体
- 1 1 ... ガラス板
- 1 2 ... 透明樹脂シート
- 1 3 ... 太陽電池
- 1 3 a ... 受光面
- 1 3 b ... 裏面
- 1 4 ... 配線材
- 1 5 ... 着色樹脂シート
- 1 7 ... 充填材層
- 1 7 a ... 透明充填材層
- 1 7 b ... 着色充填材層

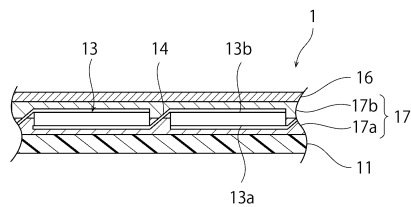
10

20

【 図 1 】



【 図 2 】



---

フロントページの続き

審査官 吉岡 一也

(56)参考文献 特開2003-258283(JP,A)  
国際公開第2012/073751(WO,A1)  
特開2011-216804(JP,A)

(58)調査した分野(Int.Cl., DB名)  
H01L 31/04 - 31/056